

不攪乱状態のシラスの動的性質

山口大学工学部 正員 大原貢生 藤井信夫 宮永文夫

1 緒言 搅乱状態で採取したシラスを締め固めて作った供試体について剛性率の測定と液化に対する実験的研究を行なったのに引きつづいて 今回は不攪乱状態で採取された供試体について同様の実験を行なったので その結果を報告する。

2 試料 不攪乱試料も攪乱シラスと同じ都城市付近で採取されたもので 直径約10 cm 長さ20 cm のアクリル板製円筒に地山から切り出されたシラス塊を詰め 上下をパラフィンで密封したものである。自然含水比の平均は21.36 % 乾燥単位重量は112 g/cm³ 自然間げき比は1.14であった。粒度曲線はFig. 1に示す。

3 実験装置および実験方法 今回の実験には動的せん断試験機のみを用いた。この試験機はわれわれの実験室での試作品であって Fig. 2に示す機構をもつてゐる。

せん断箱はKjellman型であり 供試体は直径が75 mm 厚さ20 mm の円板状であり ゴムスリーブの中に収められている。その外側には厚さ2 mm 内径が75.2 mm 外径が96 mm のアクリルリングが12~14枚つぶれねられた状態ではめられている。

上部加圧板は水平方向に固定され 下部加圧板は試料を固定されていて これに水平力が加わると供試体はせん断力をうける。水平力は複動式のエアーシリンダーの左右の圧力室の圧力を交番的に高めることによって生じる。Fig. 2に示すように この装置では2つのエアーシリンダーを用いることによって水平力を正弦波状に変化している。水平力の大きさはエアーシリンダーに最初に封入される空気量および偏心軸の偏心度を変化することによって変化する。水平力の大きさは試料毎ヒストンロッドの結合部にとりつけてある板バネに生じるひずみで測定し せん断ひずみは試料毎の変位を差動変圧器型の変位計で測定して求めた。液化についての実験での間げき水圧の測定は下部加圧板のポーラスメタルを通してまた水圧を変圧面直径6 mm の圧力計で測定した。実験方法は次のとおりである。

a 剛性率の測定 まず 内径75 mm 厚さ20 mm のリングカッターを用いて供試体を不攪乱シラス塊から削り出す。それをせん断箱に収め ゴムスリーブ プラスチックリングをはめ上部加圧板をのせる。次に所定の鉛直圧を加え 所要のせん断力を負荷する。その際に生じるせん断ひずみとせん断応力との関係をX-Yレコーダーに記録した。このような実験を鉛直圧 せん断応力を変化させて行なった。

b 液化についての実験 供試体を切り出し それをせん断箱にセットするまではAと同じである。

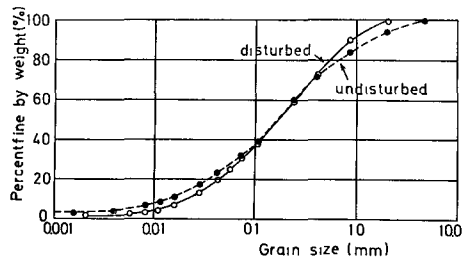


Fig. 1 Grain size distribution curves

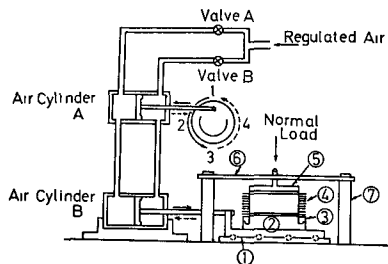


Fig. 2 Mechanism of dynamic simple shear test apparatus

そして飽和時に供試体の膨脹を生じないよう 0.1 kg/cm² の鉛直圧を加えた後に下部加压板から膨張水を送る。そのとき 上部加压板の排水孔は開いておき 供試体の気泡をぬく。

排水孔から気泡がなくなつて供試体が完全に飽和されたら排水孔を閉じる。このあとあらためて測定の鉛直圧を加え 下部加压板の排水孔を開いて圧密する。圧密が完了したならば所要のせん断力を供試体の液化が生じるまでかかる。その際のくり返せん断力 せん断ひずみ 同じき水圧比の変化をペン書きオシロに記録した。せん断力の周期は 2 秒で 鉛直圧 σ_v は 0.5 0.7 1.0 kg/cm² の 3 段階に変化して実験を行なつた。

4 実験結果とその考察

a 動的剛性率および履歴減衰係数について Fig. 3 は鉛直圧 $\sigma_v = 0.5 \text{ kg/cm}^2$ くり返せん断力 $\tau_d = 0.298 \text{ kg/cm}^2$ で実験を行なつたときの履歴曲線を示したものである。Fig. 4 は締め固めたシラスの履歴曲線であり これと Fig. 3 とを比較してわかるように締め固めシラスではほぼ完全な長円形の履歴曲線が得られといづれに対し 不壊乳シラスでは完全なバイリニヤー形に近い履歴曲線が得られている。また 締め固めシラスでは等価剛性率 G_{eq} はせん断力のくり返し回数が増加するにつれて大きくなつて その値は大きくなる。不壊乳シラスではくり返し回数が増加しても G_{eq} の値はほとんど変化せず ほぼ一定となる。Fig. 5 に示した。

次に 締め固めシラスでは Fig. 6 に示すように G_{eq}/σ_v は一定となつたが 不壊乳シラスではそれほど一定とはならなかつた。その原因は不壊乳シラスではある程度の粒子間の結合力をもつており そのための圧密降伏荷重をもつといふことと同じ状態になつてゐるためと考えられる。

このように 締め固めシラスと不壊乳シラスとでは性質が相當に異なつたといふが G_{eq} に関しては次の点では同じ傾向をもつ。すなわち 不壊乳シラスの G_{eq} はせん断ひ

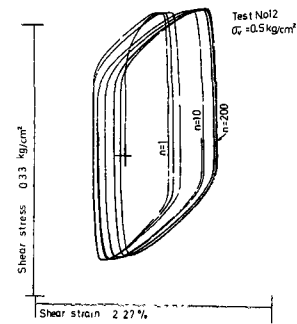


Fig. 3 Hysteresis curve
(Undisturbed sample)

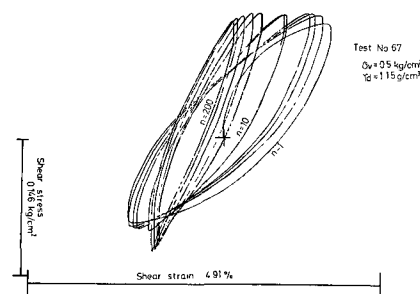


Fig. 4 Hysteresis curve
(Compacted sample)

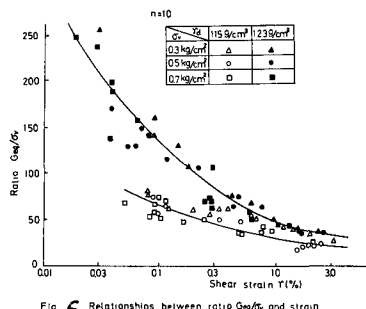


Fig. 6 Relationships between ratio G_{eq}/σ_v and strain

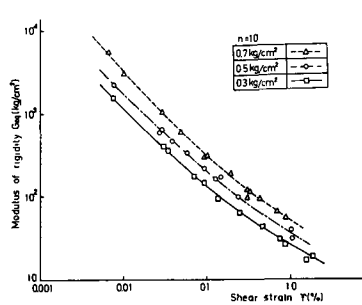


Fig. 7 Relationships between rigidity and shear strain

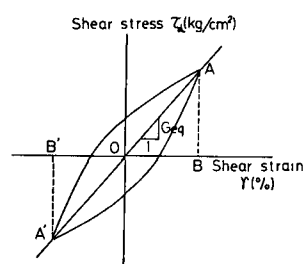


Fig. 5 Equivalent hysteretic stress-strain properties

せん断ひずみ量の増加によってその値が極端に低下する。そして 一次比例的ではないが鉛直圧 σ_v が大きい場合が G_{eq} の値は大きい。これらを裏付けた結果の一つとして Fig. 7 である。Fig. 6 と Fig. 7 をくらべてみても不壊乱シラスの動的剛性率が締め固めシラスのそれよりかなり大きいことがわかる。

いま、 G_{eq} をせん断ひずみ量 γ と鉛直圧 σ_v の関数として次の形におく。

$$G_{eq} = C (\sigma_v)^m / \gamma^n \quad (1)$$

そして 最小自乗法 (Deming の方法) によって実験値から定数 C n m の値を求めた。その結果が右の表である。ただし この値は $n=10$ のときの G_{eq} を用いて求められたものであり せん断ひずみが $1 \times 10^{-4} \sim 2 \times 10^{-2}$ の範囲において適用できるものと考える。

次に等価履歴減衰定数入 λ_R についてであるが この値は Fig. 5 に示したように 履歴曲線の囲む面積 ΔW と三角形 AOB の面積 W との比をとて次の(2)式によって求めた。すなわち

$$\lambda_R = \frac{1}{4\pi} \frac{\Delta W}{W} \quad (2)$$

その結果の例を Fig. 8 に示した。

不壊乱シラスの入 λ_R も締め固めシラスのそれと同じようくせん断力のくり返し回数の増加によって入 λ_R の値は減少している。

しかし せん断ひずみ量 γ の増加によってはあまり変化していない。このことは締め固めシラスの Dense Packing の状態で鉛直圧 σ_v が大きい場合との傾向が非常によく似ているといえる。また 不壊乱シラスの入 λ_R は締め固めシラスのそれの約2倍の数値を示しているが、これは両者の履歴曲線の形の相異によるものである。

8. シラスの液化 Fig. 9 は不壊乱シラスの実験記録の例である。これらの例からわかるように 供試体にくり返せん断応力 σ_d を負荷すると そのくり返し回数 n_L が増加するにつれて供試体中の間隙水圧 σ'_v が次第に上昇し Fig. 9 に示した例では $n_L=13 \sim 14$ 付近からせん断変位 γ が増大はじめ、この時点での初期液化がおこっていふことわかる。そこで初期液化が起るまでのせん断応力のくり返し回数 n_L と応力比 σ_d/σ'_v との関係を示したのが Fig. 10 である。Fig. 10 において注目すべきことは不壊乱シラスの液化はそれが発生するまでのせん断応力のくり返し回数 n_L は応力比 σ_d/σ'_v によって一義的にきまらないといふ点である。

このことば不壊乱シラスの液化と壊乱シラスの液化との大きい相異点である。この相異点の原因は動的剛性率の測定結果のところでものぐれによく 不壊乱シラスに

| | | C | n | m |
|---------|---------------------------------|-------|------|------|
| 締め固めシラス | $\gamma_d = 115 \text{ g/cm}^3$ | 10.27 | 0.25 | 1.02 |
| | $\gamma_d = 123 \text{ g/cm}^3$ | 6.11 | 0.45 | 1.06 |
| 不壊乱シラス | $\gamma_d = 112 \text{ g/cm}^3$ | 1.90 | 0.82 | 1.15 |

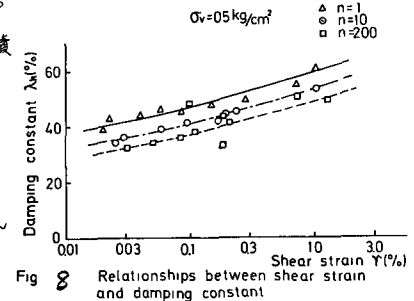


Fig. 8 Relationships between shear strain and damping constant

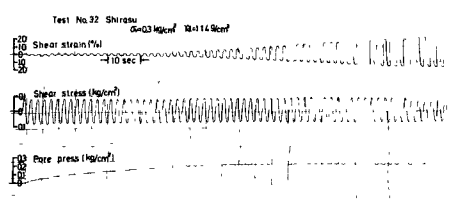


Fig. 9 Record of dynamic simple shear test

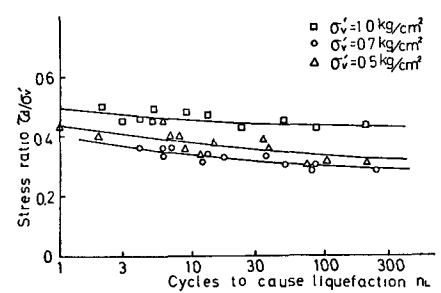


Fig. 10 Stress ratio σ_d/σ'_v required to cause liquefaction

は土粒子間にある種の結合力が存在していることによるものと思われる。Fig. 11は初期液状化が生じた時点での有効応力 $(\sigma'_v - u)$ とくり返せん断力 τ_d の関係をプロットした結果の一例で、初期液化時のモールフーロンの破壊線を考えよう。そこでこの線の傾きなどから初期液化時の内側まきつ角 ϕ と粘着力 C を求めることが出来る。このように不擾乱シラスでは見掛上の粘着力があることが砂や締め固めシラスの場合と異なる。

このような粘着力をもつ土の液化時の応力条件式は次のようになります。

$$\tau_d = C + (\sigma'_v - u) \tan \phi \quad (3)$$

(3)式を(4)式のようにし、両辺を σ'_v で除すれば

$$\frac{\tau_d - C}{\sigma'_v} = (\sigma'_v - u) \tan \phi \quad (4)$$

$$\frac{\tau_d - C}{\sigma'_v} = \left(1 - \frac{u}{\sigma'_v}\right) \tan \phi \quad (5)$$

Δu を1パルス当たりの間げき水圧上昇高 n_L を液化に要するパルス数とすれば $u_f = n_L \cdot \Delta u$ となるので

$$\frac{\tau_d - C}{\sigma'_v} = \left(1 - \frac{n_L \Delta u}{\sigma'_v}\right) \tan \phi \quad (6)$$

をうる。(6)式からFig. 10に示した実験結果をFig. 11に示した結果から得られた粘着力を用いて $(\tau_d - C)/\sigma'_v$ と n_L との関係で改めて整理してみたのがFig. 12である。

Fig. 10とFig. 12を比較してわかるようにFig. 10では σ'_v のちがいによって3本の線にわかれている結果がFig. 12ではほゞ1本の線にまとまっていることがわかり、不擾乱シラスの液化には土粒子間の結合力の影響があることが明らかになった。

5 結語 今回行なった不擾乱シラスの動的性質に関する実験およびその結果について述べたが、それから明らかなに、た事柄を列記すれば次のとおりである。

1) 不擾乱シラスの等価剛性率 G_{eq} はせん断ひずみが大きくなればその値は減少し、鉛直圧 σ'_v が大きくなればその値は増加する。三者の関係を示す実験式は次のとおりである。

$$G_{eq} = \frac{190}{\gamma^{0.82}} \sigma_v^{1.15}$$

なお 上式の適用範囲は $1 \times 10^{-4} \leq \gamma \leq 2 \times 10^{-2}$ である。

- 2) また 等価履歴減衰定数 α_R は G_{eq} とは逆の傾向を示す。
- 3) 不擾乱シラスの液化については応力比を $(\tau_d - C)/\sigma'_v$ とすれば初期液化を起すまでのせん断力のくり返し回数 n_L は応力比によつて一義的にきまるといつて一般的な結果と同じであるといふことがいえる。

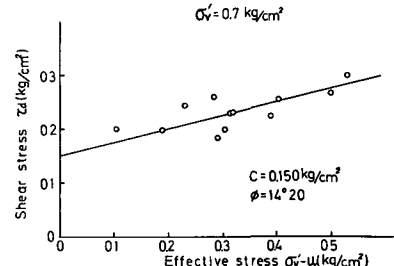


Fig. 11 Relationships between effective stress and shear stress

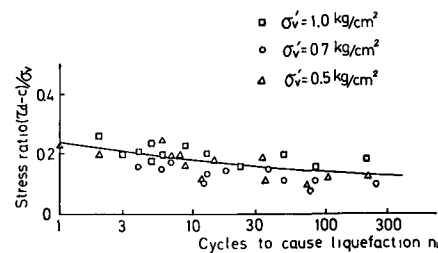


Fig. 12 Stress ratio $(\tau_d - C)/\sigma'_v$ required to cause liquefaction